

금속 Alkoxide로 부터 Cordierite 분말의 합성 및 소결에 관한 연구(I)
—금속 Alkoxide로 부터 Cordierite 분말의 합성—

한문희* · 박금철

한양대학교 공과대학 무기재료공학과

*한국동력자원연구소

(1990년 7월 3일 접수)

Synthesis and Sintering of Cordierite from Metal Alkoxides(I)
—Synthesis of Cordierite from Metal Alkoxides—

Moon-Hee Han* and Keum-Churl Park

Dept. of Inorganic Materials Eng., Hanyang Univ.

*Korea Institute of Energy and Resources

(Received July, 3, 1990)

요약

Alkoxide로서 $\text{Si}(\text{OC}_2\text{H}_5)_4$, $\text{Al}(\text{OC}_3\text{H}_7)^3$ 및 $\text{Mg}(\text{OC}_2\text{H}_5)_2$ 를 사용하여 Sol-gel 법으로 Cordierite 전구체 분말을 합성하는 연구를 통해서 얻어진 결과는 다음과 같다.

1) 가수분해 속도가 느린 $\text{Si}(\text{OC}_2\text{H}_5)_4$ 를 부분적 가수분해 하는 방법과 가수분해 속도가 빠른 $\text{Al}(\text{OC}_3\text{H}_7)^3$ 와 $\text{Mg}(\text{OC}_2\text{H}_5)_2$ 를 $i-\text{C}_4\text{H}_9\text{OH}$ 로 억제시키는 방법에서 다같이 균질의 cordierite 전구체 분말을 합성할 수 있었다.

2) 합성된 분말을 각 온도에서 2시간 열처리하면 다같이 1000°C에서는 μ -cordierite, 1100~1200°C에서는 μ -cordierite와 α -cordierite, 그리고 1300°C에서는 α -cordierite로 되었다.

ABSTRACT

Cordierite powders were prepared from $\text{Si}(\text{OC}_2\text{H}_5)_4$, $\text{Al}(\text{OC}_3\text{H}_7)^3$, and $\text{Mg}(\text{OC}_2\text{H}_5)_2$ by the sol-gel method. Two different methods were applied for producing fine and homogeneous powders. One is that $\text{Si}(\text{OC}_2\text{H}_5)_4$ with a lower rate of hydrolysis was partially hydrolyzed and then $\text{Al}(\text{OC}_3\text{H}_7)^3$ and $\text{Mg}(\text{OC}_2\text{H}_5)_2$ were mixed and reacted. The other is based on the simultaneous hydrolysis of these metal alkoxides using $i-\text{C}_4\text{H}_9\text{OH}$ which retards the rate of hydrolysis of $\text{Al}(\text{OC}_3\text{H}_7)^3$ and $\text{Mg}(\text{OC}_2\text{H}_5)_2$. It was confirmed that fine and homogeneous powders were obtained from both methods. Also these powders were calcined at four different temperatures during two hours. X-ray diffraction patterns show only μ -cordierite phase at 1000°C, μ -cordierite and α -cordierite phases at 1100~1200°C and α -cordierite phase at 1300°C respectively.

1. 서 론

Cordierite ceramics는 열팽창계수가 작고, 내화도가 높아서 자동차 배기ガ스 정화용 촉매달체, 가스터빈 엔진의 열교환기, 가마도구 등의 구조재료로 중요할 뿐더러^{1,2)}, 유전상수가 작아서 접적회로 기판으로도 유망시 되고 있다³⁾. 그러나 cordierite ceramics는 그 분해온도 1455°C 이하 25°C내의 좁은 소결온도 범위를 가지고 있기 때문에 소결이 매우 곤란하며^{3,4)}, cordierite 조성의 유리분말을 사용한다 할지라도 소결의 초기단계에서 일어난 결정화로 소결이 저지됨으로 가압하지 않고는 소결이 어렵다⁵⁾.

따라서 상압소결로 고밀도의 cordierite ceramics를 얻으려면 균질이고 소결하기 쉬운 cordierite 미분말을 필요로 하는데 alkoxide를 이용한 sol-gel 법으로 합성된 미분말은 결정이나 유리상태의 것보다 자유에너지 값이 크기 때문에 반응성이 큰 것으로 알려져 있다⁶⁾. 그러나 alkoxide 법으로 다성분계의 gel 분말을 얻으려 할 경우는 성분 alkoxide들의 가수분해 속도가 다르기 때문에 불균질한 분말이 되기 쉽다⁷⁻¹⁰⁾. Suzuki^{3,4,11,12)} 등은 금속 alkoxide로서 $\text{Si}(\text{OC}_2\text{H}_5)_4$, $\text{Al}(\text{OC}_3\text{H}_7^{\prime})_3$, $\text{Mg}(\text{OC}_2\text{H}_5)_2$ 등을 사용하여 cordierite, mullite 및 cordierite-mullite 계 전구체 분말을 얻기 위하여 가수분해 속도가 느린 $\text{Si}(\text{OC}_2\text{H}_5)_4$ 를 미리 부분적으로 가수분해 시킨 다음, 가수분해 속도가 빠른 $\text{Al}(\text{OC}_3\text{H}_7^{\prime})_3$ 와 $\text{Mg}(\text{OC}_2\text{H}_5)_2$ 의 혼합액과 섞어서 가수분해를 진전시키고 있다. 이때, 가수분해 속도가 빠른 $\text{Al}(\text{OC}_3\text{H}_7^{\prime})_3$ 는 i-C₄H₉OH와 작용시켜 측쇄기 $-\text{OC}_3\text{H}_7^{\prime}$ 를, $-\text{OC}_4\text{H}_9$ 기로 부분적으로 치환시켜 입체장해를 크게 함으로서 $\text{Al}(\text{OC}_3\text{H}_7^{\prime})_3$ 의 가수분해 속도를 억제하고 있다. 본 연구에서는 $\text{Si}(\text{OC}_2\text{H}_5)_4$, $\text{Al}(\text{OC}_3\text{H}_7^{\prime})_3$, $\text{Mg}(\text{OC}_2\text{H}_5)_2$ 를 사용한 sol-gel 법으로 분말을 합성하는 조건을 검토하고 합성된 분말의 특성을 추구하고자 하였다.

2. 실험방법

2.1. 출발물질

본 실험에서 사용한 출발물질은 종류수외에 cordierite의 금속산화물원 alkoxide로 $\text{Si}(\text{OC}_2\text{H}_5)_4$ (Wako 제 95% 순도, 이하 $\text{Si}(\text{OEt})_4$ 라 한다) $\text{Al}(\text{OC}_3\text{H}_7^{\prime})_3$ (Aldrich 제 98% 순도, 이하 $\text{Al}(\text{OPr}^{\prime})_3$ 라 한다) 및 $\text{Mg}(\text{OC}_2\text{H}_5)_2$

(Aldrich 제 98% 순도, 이하 $\text{Mg}(\text{OEt})_2$ 라 한다)를, 분산매로 $\text{C}_2\text{H}_5\text{OH}$ (James Burrough 제 99.9%, 이하 EtOH라 한다)와 $(\text{CH}_3)_2\text{CHCH}_2\text{OH}$ (Tedia 제 99.0% 순도, 이하 Bu'OH라 한다)를 촉매로 HCl (Yoriki 제 35% 순도) 등이다.

2.2. 겔 분말의 합성방법

Cordierite 조성의 겔 분말의 합성은 Fig.1과 같이 sol-gel 법을 이용하였으며, 방법(a)는 가수분해 속도가 다른 alkoxide에 의해 느린 $\text{Si}(\text{OEt})_4$ 를 미리 부분적으로 가수분해 시키는 것이고, 방법(b)는 $\text{Si}(\text{OEt})_4$ 를 부분가수분해 시키지 않고 $\text{Al}(\text{OPr}^{\prime})_3$ 의 $-\text{OPr}^{\prime}$ 를 부분적으로 $-\text{OBu}'$ 로 치환시켜 $\text{Al}(\text{OPr}^{\prime})_3$ 의 가수분해 속도를 느리게 한 것이다. 방법(a)에서 $\text{Si}(\text{OEt})_4$ 는 HCl을 촉매로 하고 EtOH를 매질로 하여 70°C에서 48시간 부분가수분해한 후, 95°C에서 6시간 반응시킨 $\text{Al}(\text{OPr}^{\prime})_3$ - $\text{Mg}(\text{OEt})_2$ -Bu'OH 계 용액과 70°C에서 24시간 혼합 반응시키고, $\text{Si}(\text{OEt})_4$ 의 20mole 배의 종류수를 기하고, 70°C에서 12시

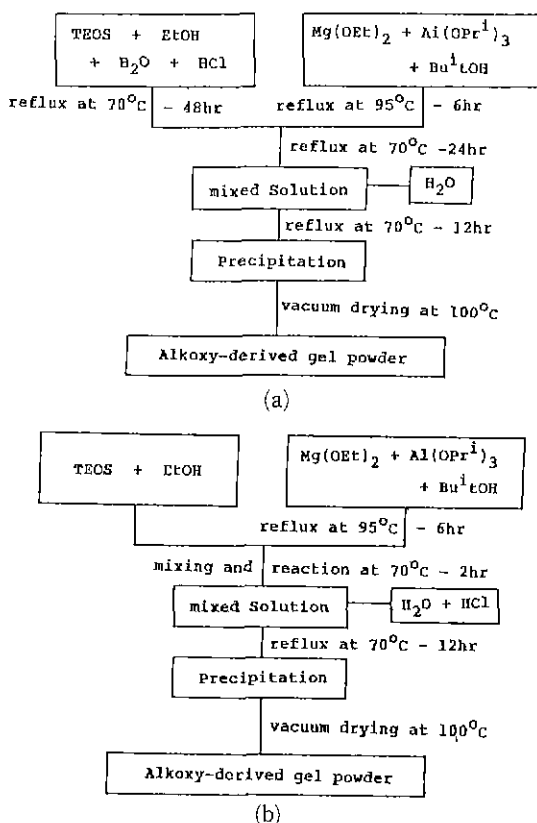


Fig.1. Schematic diagram of sol-gel process.

간 반응시켰다. 이때 Si(OEt)_4 의 부분가수분해 용액의 조성은 Fig. 2에서 점 a, b, c에 해당하는 3종류이며 Mg 및 Al alkoxide 양은 Si(OEt)_4 기준으로 화학양론적 cordierite 조성이 되게 하였고, Mg 및 Al alkoxide 혼합 용액에서의 $\text{Bu}'\text{OH}$ 의 양은 alkoxide의 농도가 0.1mol/l가 되게 하였다. 한편 방법 (b)에서는 방법 (a)에서와 같이 95°C에서 6시간 반응시킨 $\text{Al(OPr}^{\prime}\text{)}_3 - \text{Mg(OEt)}_2 - \text{Bu}'\text{OH}$ 계 용액에 $\text{Si(OEt)}_4 - \text{EtOH}$ 계 용액을 섞고 70°C에서 2시간 반응시킨 다음, Si(OEt)_4 의 20mole 배의 중류수에 HCl을 넣어 가하고 70°C에서 12시간 반응시켰다. 이때 가해진 HCl량은 방법 (a), (b)에서 다같이 Si(OEt)_4 의 0.1mole 배가 되게 하였다.

2.3. 분말의 특성 평가

건조 및 하소분말의 열분해 과정을 관찰하기 위해 TG/DTA(Rigaku 제, 승온속도 10°C/min)에 의한 열분석을 행하였으며 분밀의 입자크기와 모양은 TEM(Jeol 제)으로 관찰하였다. 또한 화학결합 형태를 관찰하기 위해 FT-IR(Nicolet 제)을 이용하여 적외선 분광분석을 행하였으며 surface area analyser (Quantachrom 제 monosorb)에 의해 비표면적을 측정하였다. 열처리온도에 따른 분말의 결정상 형성과정을 알아보기 위하여 X-선 회절분석기(Rigaku 제)를 이용하여 X-선 회절분석을 행하였다.

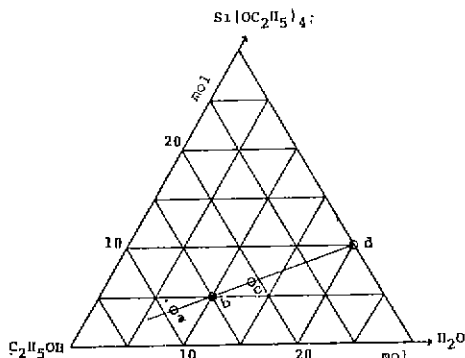


Fig. 2. Composition of solutions for hydrolysis of Si(OEt)_4 .

a : 3.5mol Si(OEt)_4 - 7.0mol H_2O - 89.5mol EtOH

b : 5.0mol Si(OEt)_4 - 10.0mol H_2O - 85.0mol EtOH

c : 6.37mol Si(OEt)_4 - 12.74mol H_2O - 80.89mol EtOH

d : 10.0mol Si(OEt)_4 - 20.0mol H_2O - 70.0mol EtOH

3. 결과 및 고찰

3.1. 젤 분말의 합성

3.1.1. $\text{Si(OEt)}_4 - \text{C}_2\text{H}_5\text{OH} - \text{H}_2\text{O} - \text{HCl}$ 계 용액의 점도

Cordierite 합성에 Si(OEt)_4 , $\text{Al(OPr}^{\prime}\text{)}_3$ 및 Mg(OEt)_2 를 사용한 경우에 Si(OEt)_4 는 다른 alkoxide에 비해 가수분해 속도가 느리므로 균질의 cordierite 분밀을 얻으려면 미리 부분 가수분해된 Si(OEt)_4 를 Mg(OEt)_2 및 $\text{Al(OPr}^{\prime}\text{)}_3$ 의 두 alkoxide와 혼합하여 가수분해와 더불어 중합 및 축합을 일으키게 하는 것이 좋고, 이때 Si(OEt)_4 의 부분적 가수분해 용액은 짧은 사슬모양의 중합체($\text{Si}_n\text{O}_{n-1}(\text{OH})_{2n+2}$, 여기서 $n=2$ 또는 3)가 생성되며 $\text{H}_2\text{O}/\text{Si(OEt)}_4$ 의 mole비를 2로 하고 있다^{3,13}. 본 실험에서는 Fig. 2에서 $\text{H}_2\text{O}/\text{Si(OEt)}_4$ 의 mole비가 2인 조성 중 Suzuki³³ 등이 택한 조성 c 외에 조성 a, b를 추가하여 3 가지 조성(이하 이를 조성을 이용한 것을 각각 A, B, C 계열법이라 한다)을 검토 대상으로 정하였는데, 이 조성 액이 HCl 촉매하에 70°C에서 부분적으로 가수분해 되는 동안 중합반응이 진행되는가를 확인하기 위하여 saybolt 점도계로 측정한 반응액의 상대점도(길은 온도에서의 물에 대한)는 Fig. 3과 같다.

Fig. 2와 Fig. 3을 보면 조성 a, b, c는 다같이 $\text{H}_2\text{O}/\text{Si(OEt)}_4$ 의 mole비가 2이지만, EtOH량의 차이로 Si(OEt)_4 의 농도가 다르며 상대점도는 Si(OEt)_4 의 농도가 커짐에 따라서 약간씩 커지고 있다. 그러나 가수분해가 진행되는 동안 점도는 변화하지 않고 있으며, 이는 중합반

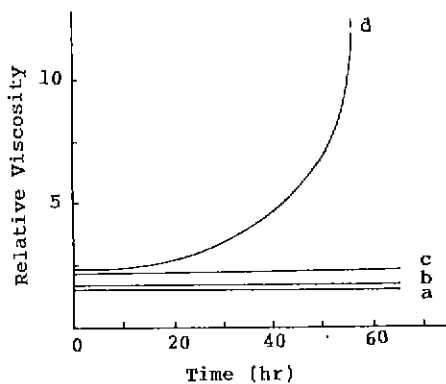


Fig. 3. The change in viscosity of the $\text{Si(OEt)}_4 - \text{EtOH}$ solutions with time at 70°C and HCl-catalysed ($\text{HCl}/\text{Si(OEt)}_4 = 0.1\text{mol/mol}$).

응이 일어나지 않은 것을 의미하는데, $H_2O/Si(OEt)_4$ 의 mole 비는 2이지만 $Si(OEt)_4$ 의 농도가 보다 큰 조성 d의 점도는 가수분해 시간이 길어짐에 따라 급격히 증가하고 있으며 이는 중합반응이 급격히 진행되는 것을 의미한다. 그런데 균일한 cordierite 전구체 분말을 얻고자 할 경우는 3가지 alkoxide의 가수분해, 중합 및 축합반응이 거의 같은 속도로 이루어지는 것이 바람직하므로 $Si(OEt)_4$ 의 부분가수분해법에서는 조성 d를 제외하였다. 한편 균질의 cordierite 전구체 분밀을 얻기 위한 다른 방법으로 $Si(OEt)_4$ 에 비해 반응속도가 빠른 $Al(OPr')_3$ 와 $Mg(OEt)_2$ 를 $Bu'OH$ 에 분산시켜 $Al(OPr')_3$ 의 축제기인 $-OPr'$ 의 일부를 $-OBu'$ 로 치환시켜 축제기를 크게 함으로서 입체장해가 증대되고 $Al(OPr')_3$ 등의 반응속도를 느리게 하면 장시간을 오하는 $Si(OEt)_4$ 의 부분적 기수분해를 하지 않아도 될 것으로 여겨진다. 따라서 Fig.1의 방법 (b)도 검토하기로 하였으며 $Si(OEt)_4-EtOH-HCl$ 계의 조성이 Fig.2의 조성 a와 같을 때 DA계열, 조성 b, c와 같을 때 DB계열, DC계열법이라 하였다.

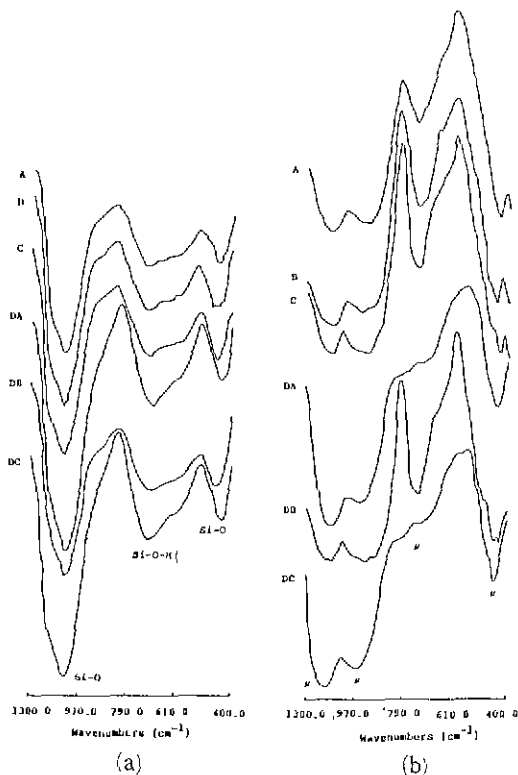


Fig. 4. IR spectra of the powders.

(a) dried at 100°C, (b) calcined at 900°C for 2 hr.

3.1.2. 겔 분말의 특성

(1) 적외선 분광 분석

Fig.4(a)는 100°C에서 건조한 합성 겔 분말의 I.R spectra이고 Fig.4(b)는 이를 900°C에서 2시간 열처리한 것의 I.R spectra이다. 100°C에서 건조한 분말은 다같이 1100cm^{-1} 부근의 $Si-O-Si$ 신축진동에 따른 흡수대와 700cm^{-1} 부근의 $M-O(M=Mg, Al)$ 신축진동에 따른 흡수대, 그리고 460cm^{-1} 부근에 $Si-O$ 변각에 따른 흡수대가 뚜렷이 나타나고 있다. 그러나 부분적으로 가수분해한 A, B, C 계열 분밀들은 1100cm^{-1} 의 흡수대가 $1046-1054\text{cm}^{-1}$ 에서 나타나고 부분적 가수분해를 하지 않은 DA, DB, DC 계열 분밀들은 보다 저 주파수쪽 $1031-1039\text{cm}^{-1}$ 으로 shift되어 나타나고 있으며, 저 주파수쪽으로 쓸릴수록 Si 가 Al 의 치환 또는 배위로 $Si-O-Al$ 결합이 형성되었음을 의미한다¹¹⁾. 또한 700cm^{-1} 근방의 흡수대는 $Si-O-M(M=Mg, Al)$ 결합이 생성되었음을 의미하므로¹²⁾ 본 실험조건으로 합성된 겔 분밀은 cordierite 구조에 가까운 원자배열을 하고 있음을 말해주고 있다. 한편 900°C에서 2시간 열처리한 분밀들은 다같이 각각 1100cm^{-1} , 935cm^{-1} , 700cm^{-1} , 440cm^{-1} 부근에서 μ -cordierite의 특성인 흡수대를 보여주고 있으며 합성된 겔 분밀의 균질성을 한층 더 입증하고 있다.

(2) X-선 회절분석

Table 1은 합성된 겔 분밀을 1000°C , 1100°C , 1200°C , 1300°C 에서 각각 2시간 열처리하여 X-선 회절분석한 결과를 나타낸 것이다. 이 결과를 보면 일어진 분밀의 결정상은 다같이 열처리온도가 1000°C 인 것은 μ -cordierite이고, 1100°C 와 1200°C 의 것은 μ -cordierite와 α -cordierite이며, 1300°C 의 것은 α -cordierite로 확인되

Table 1. Crystalline Phase of the Calcined Powders Determined by X-ray Diffraction.

| Calci-nation Temp (°C) | A-Series | B-Series | C-Series | DA-Series | DB-Series | DC-Series |
|------------------------|--------------------------------|--------------------------------|--------------------------------|--------------------------------|--------------------------------|--------------------------------|
| 1000 | μ -cord. | μ -cord | μ -cord. | μ -cord. | μ -cord | μ -cord. |
| 1100 | μ -cord. α -cord | μ -cord. α -cord | μ -cord. α -cord | α -cord. μ -cord | μ -cord. α -cord | μ -cord. α -cord |
| 1200 | α -cord μ -cord. | μ -cord. α -cord | μ -cord. α -cord | α -cord. μ -cord | α -cord. μ -cord | μ -cord. α -cord |
| 1300 | α -cord |

cord = cordierite

었다. 다만 μ -cordierite에서 α -cordierite로 전이하는 속도가 A 계열은 빠르나 B, C 계열은 느린 편이며, 이는 alkoxide의 반응계수 방법, 즉 Fig. 1의 방법(a)와 (b)의 차보다는 $\text{Si(OEt)}_4-\text{EtOH}-\text{HCl}$ 체의 조성의 차이가 역할하고 있다. 즉 Si(OEt)_4 가 EtOH에 보다 희석되어진 것이 alkoxide의 급격한 중합이나 축합을 억제하여 젤의 원자배열의 균일화에 역할한 것으로 보여진다.

(3) 시차열 분석

Fig. 5는 합성된 분말의 DTA 곡선중 무개감량이 없는 은도 영역에서 μ -cordierite의 결정화($963\text{--}984^\circ\text{C}$)와 α -cordierite로의 전이($1070\text{--}1136^\circ\text{C}$)에 따른 발열 peak 부분을 나타낸 것이다. 여기서 μ -cordierite의 결정생성은 DC>DA>DB>A>B=C 계열의 순서로 저온에서 일어나고, α -cordierite로의 전이는 DA>DC>DB>A>B=C 계열의 순서로 저온에서 일어나는데 이는 대체로 Table 1 X-선회절분석 결과의 1100°C 에서의 μ -cordierite와 α -cordierite의 양적관계와 일치되고 있

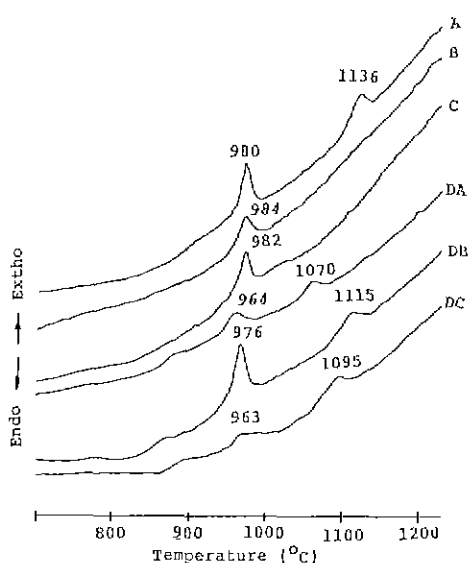


Fig. 5. DTA curves of the gel powders

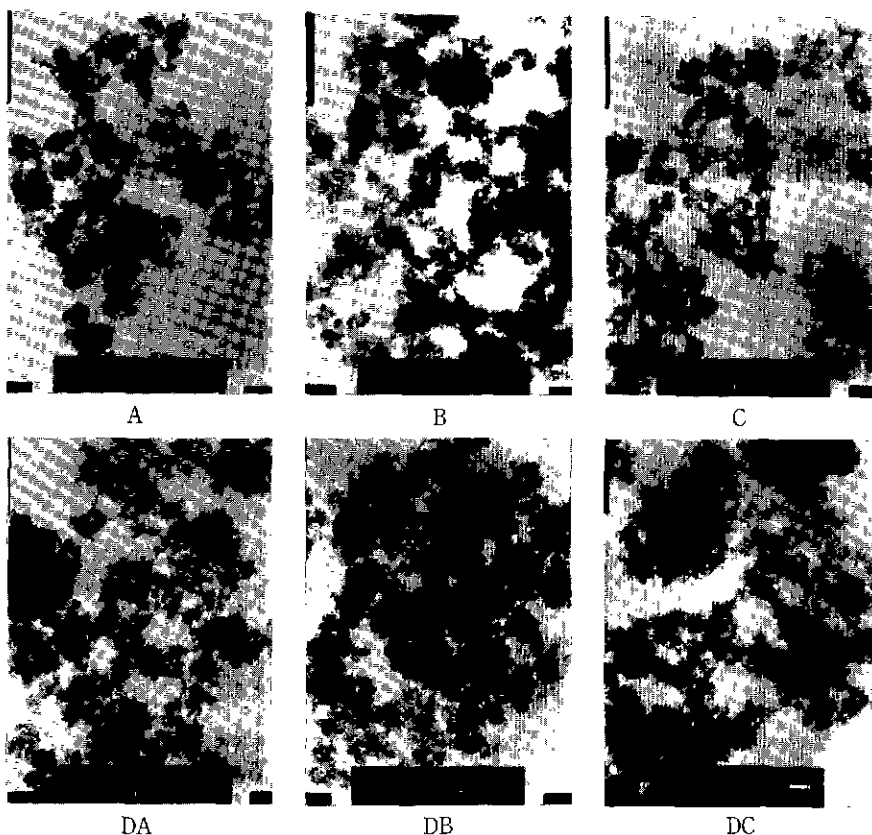


Fig. 6. TEM images of the gel powders dried at 100°C .

Table 2. The Specific Surface Area of the Gel Powders Dried at 100°C. (m²/g)

| A-Series | B-Series | C-Series | DA-Series | DB-Series | DC-Series |
|----------|----------|----------|-----------|-----------|-----------|
| 523.99 | 553.16 | 519.24 | 480.62 | 436.95 | 449.42 |

다. B와 C계열의 분말이 α 상으로의 전이에 따른 발열peak가 나타나지 않은 것은 그 속도가 느리기 때문이다.

(4) 분말의 형상 및 크기

Fig.6은 100°C에서 건조한 합성분말의 TEM 사진이며 Table 2는 건조분말의 비표면적 값을 나타낸 것으로 미세한 분말이 약간 응집되어 449~553m²/g의 비표면적 값을 나타내고 있다.

4. 결 론

Alkoxide로서 Si(OC₂H₅)₄, Al(OC₃H₇)₃ 및 Mg(OC₂H₅)₂를 사용하여 sol-gel법으로 cordierite 전구체 분말을 합성하는 연구를 통해서 얻어진 결과는 다음과 같다.

- 1) 가수분해속도가 느린 Si(OC₂H₅)₄를 부분적 가수분해하는 방법과 가수분해속도가 빠른 Al(OC₃H₇)₃와 Mg(OC₂H₅)₂를 i-C₄H₉OH로 억제시키는 방법에서 다같이 균질의 cordierite 전구체 분말을 합성할 수 있었다.
- 2) 합성된 분말을 각 온도에서 2시간 열처리하면 다같이 1000°C에서는 μ -cordierite, 1100~1200°C에서는 μ -cordierite와 α -cordierite 그리고 1300°C에서는 α -cordierite로 되었다.

「감사의 글」

이 연구는 1988년도 문교부 첨단공학(신소재 분야) 학술연구조성비에 의해서 수행되었으므로 감사드립니다.

REFERENCES

1. Y. Hirosse, H. Doi and O. Kamigaito, "Thermal Expansion and Hot-Pressed Cordierite Glass Ceramics," *J. Mater. Sci. Lett.*, **3**, 153~55 (1984).
2. Idem, "Estimation of the Amount of Residual Glass in Devitrified Cordierite," *J. Mater. Sci. Lett.*, **3**, 95~96 (1984).

3. H. Suzuki, K. Ota and H. Saito, "Preparation of Cordierite Ceramics from Metal Alkoxides(Part 1)," *J. Ceram. Soc., Japan*, **95** (2) 163~69 (1987).
4. Idem, "Preparation of Cordierite Ceramics from Metal Alkoxides(Part 2)," *J. Ceram. Soc., Japan*, **95** (2) 170~175 (1987).
5. R. Morell, "The Mineralogy and Properties of Sintered Cordierite Glass Ceramics," *Proc. Brit. Ceram. Soc.*, **28**, 53~71 (1979).
6. R. Roy, "Gel Route to Homogeneous Glass Preparation," *J. Am. Ceram. Soc., Discussion and Notes*, **52**, 344 (1969).
7. T. Hayashi, T. Yamane and H. Saito, "Preparation CaO-SiO₂ Glass by the Gel-Method," *J. Mater. Sci.*, **15**, 1971~77 (1980).
8. Idem, "Preparation of Titania-Silica Glass by the Gel Method," *J. Mater. Sci.*, **18**, 3134~42 (1983).
9. K. Kamiya and S. Sakka, "Structure and Property of TiO₂-SiO₂ Glasses Prepared from Metal Alkoxides," *J. Chem. Soc., Japan*, (10) 1571~76 (1981).
10. Y. Hirata, H. Minamizono and K. Shimida, "Property of SiO₂-Al₂O₃ Powders Prepared from Metal Alkoxides," *J. Ceram. Soc., Japan*, **93** (1) 36~44 (1985).
11. H. Suzuki, Y. Tomokiyo, Y. Suyama and H. Saito, "Preparation of Ultrafine Mullite Powder from Metal Alkoxides," *J. Ceram. Soc., Japan*, **67**~73 (1988).
12. H. Suzuki and H. Saito, "Preparation of Precursor Powders of Cordierite-Mullite Composites from Metal Alkoxides and its Sintering," *J. Ceram. Soc., Japan*, **96** (6) 659~65 (1988).
13. B.E. Yoldas "Effect of Variation in Polymerized Oxides on Sintering and Crystalline Transformations," *J. Am. Ceram. Soc.*, **65** (8) 387~93 (1982).
14. M. Sugiura and O. Kamigaito, "Characterization and Formation Process of Spinel(MgAl₂(iOC₂H₅)₆) Method," *J. Ceram. Soc., Japan*, **92** (11) 605~11 (1984).